

ЛАБОРАТОРНА РОБОТА №4
Складення розрахункової схеми та завдання початкових даних програми
„ЛІРА” для розрахунку плоских перекриттів та просторових блоків
покриттів
**«РОЗРАХУНОК ПЛОСКИХ ЕЛЕМЕНТІВ ПЕРЕКРИТТЯ І
ПРОСТОРОВИХ БЛОКІВ ПОКРИТТЯ»**

В наданих методичних вказівках для самостійного вирішення приводяться задачі наступних типів:

- 1) Плоскі залізобетонні монолітні перекриття;
- 2) Плоскі металеві балочні клітки робочих майданчиків;
- 3) Просторові шарнірно-стержневі металеві блоки покриття, у т. ч. типу «структур»;
- 4) Довгі циліндричні залізобетонні оболонки.

Загальною рекомендацією при створенні розрахункової схеми є те, що для обумовленості матриці канонічних рівнянь слід уникати великої різниці сторін кінцевого елемента плитної частини системи. Відношення розмірів сторін прямокутника не повинно перевищувати 1,5:1.

Розглянемо особливості вирішення задач наведених типів.

1) Монолітні перекриття.

Такі задачі вирішуються по 3 признаку системи. Система розташовується в площині ХОУ, і кожен вузол системи має три ступені волі: лінійне переміщення уздовж вісі Z та повороти навколо вісей X і Y.

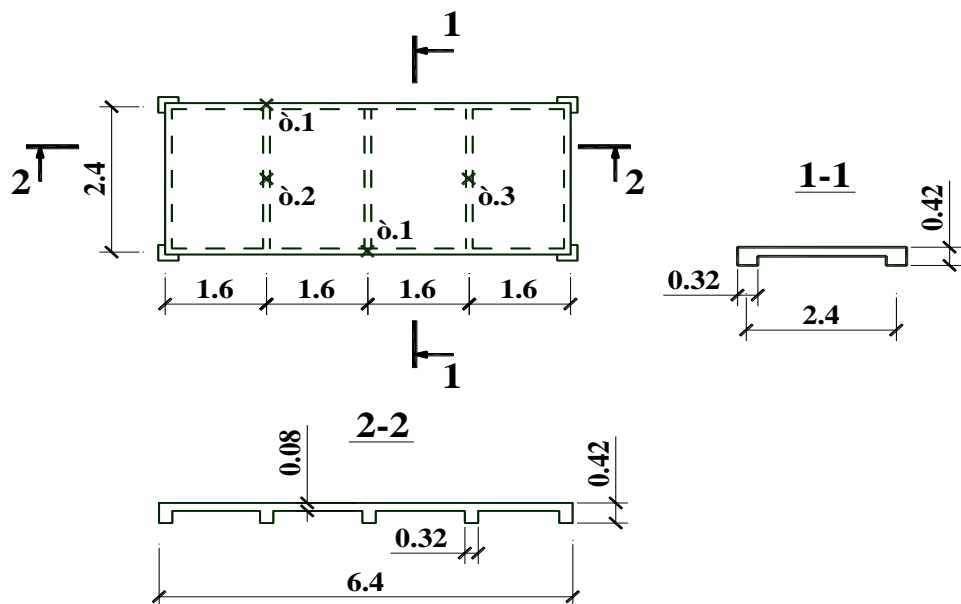
В задачах такого типу використовується кінцевий елемент типу 3 – стержень балочного ростверку, який моделює роботу поперечних і поздовжніх ребер жорсткості монолітного перекриття. Плитна частина моделюється за допомогою кінцевого елементу типу 11 – прямокутний кінцевий елемент плити.

В «Жорсткісних характеристиках» для елементів типу 3 задаються геометричні розміри перетину, а для елементів типу 11 необхідно задавати три параметри: модуль деформації E (t/m^2); коефіцієнт Пуассона μ , а також товщину плити δ в м.

В опорних закріпленах системи можливе обмеження волі по трьом ступеням:

- 3 - лінійне переміщення уздовж вісі Z;
- 4 - поворот навколо вісі X;
- 5 - поворот навколо вісі Y.

Завдання. Побудувати епюри зусиль M_y та Q_z , які виникають в ребрах жорсткості плити, від дії сил $P_1=1,4$ т, $P_2=3,6$ т, $P_3=5$ т, $p=0,27 \text{ t}/\text{m}^2$. Матеріал – залізобетон з $E=25 \cdot 10^5 \text{ t}/\text{m}^2$. Коефіцієнт $\mu=0,2$.



1043	1044	1045	1046	1047	1048	1049	1160	1161	1162	1163	1164	1165	1166	1167	1168	119		
102 86	6 87	12 88	18 89	24 90	123 91	30 92	36 93	42 94	48 95	124 96	54 97	60 98	66 78	72 84	125 90	126 100	127 101	
101 69	5 70	11 71	17 72	23 73	119 74	29 75	35 76	41 77	47 78	120 79	53 80	59 81	65 77	71 83	121 89	122 84	128 85	
100 52	4 53	10 54	16 55	22 56	115 57	28 58	34 59	40 60	46 61	116 62	52 63	58 64	64 76	70 82	117 88	118 94	119 118	
99 35	3 36	9 37	15 38	21 39	111 40	27 41	33 42	39 43	45 44	112 45	51 46	57 47	63 48	69 49	113 93	75 114	114 50	115 51
98 18	2 19	8 20	14 21	20 22	107 23	26 24	32 25	38 26	44 27	108 28	50 29	56 30	62 31	68 32	109 86	74 92	110 110	116 34
97 1127	1 2128	7 3129	13 4130	19 5131	103 6132	25 7133	31 8134	37 9135	43 1036	104 1137	49 1238	55 1339	61 1439	67 1440	105 1541	73 1642	79 17	85 119

Рисунок 4.1 – Розрахункова схема перекриття.

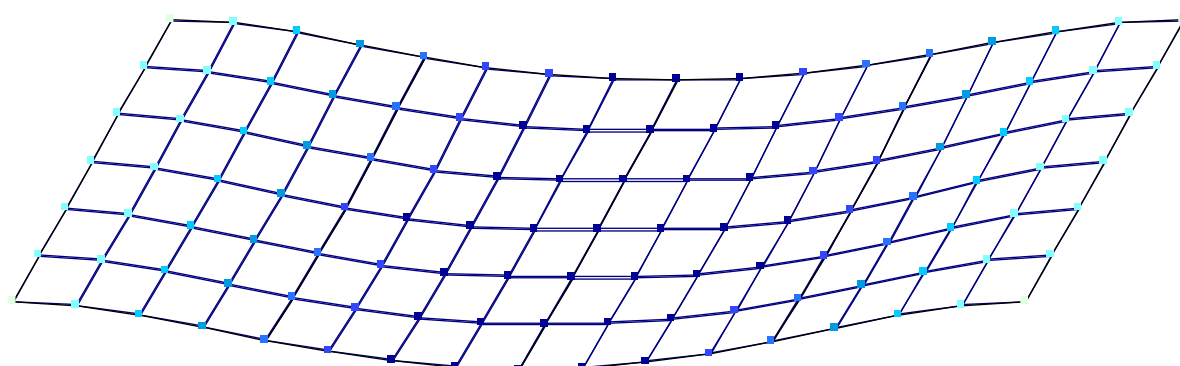
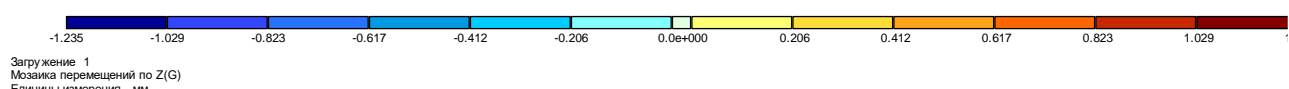


Рисунок 4.2 – Мозайка переміщень вузлів перекриття уздовж вісі Z.



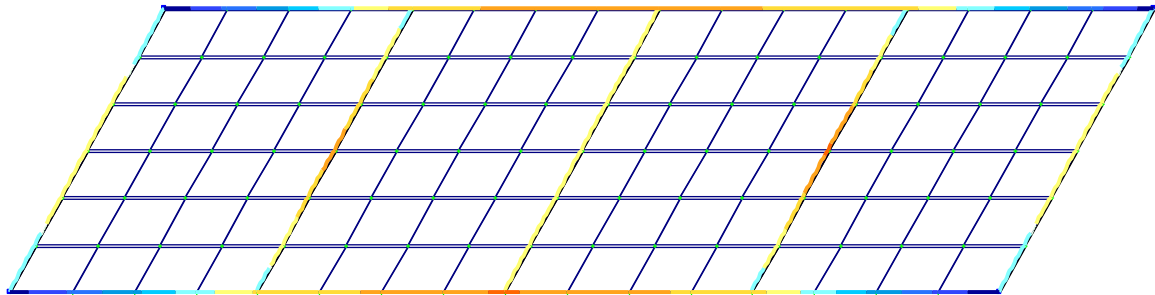


Рисунок 4.3 – Епюри згинальних моментів M_y в ребрах перекриття.

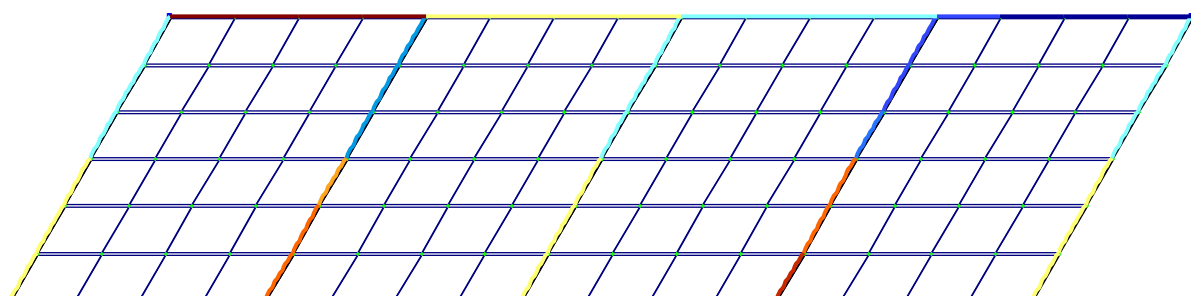
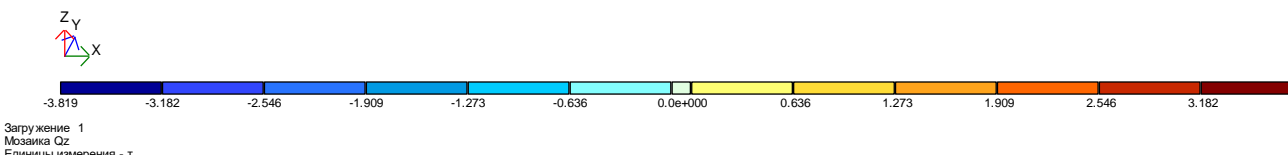


Рисунок 4.4 – Епюри поперечних сил Q_z в ребрах перекриття.

2) Балочні клітки.

Різниця полягає в тому, що кінцевий елемент типу 3 моделює роботу поперечних і поздовжніх балок настилу і при задаванні жорсткісних характеристик цих балок, які мають перетини у вигляді двотавра чи швелера, задаються ні геометричні розміри перетину, а обирається прокатний металевий профіль із сортаменту.

Завдання. Побудувати епюри зусиль M та Q , які виникають в балках майданчика, від дії сил $P_1=1,6$ т, $P_2=2,7$ т, $P_3=5$ т, $p=1,0$ т/м 2 . Матеріал – сталь з $E=2,1 \cdot 10^7$ т/м 2 . Коефіцієнт $\mu=0,2$. Поперечні перетини: Б1 - $\text{I}40\text{B}1$, Б2 - $\text{I}30\text{B}1$, Б3 – [30].

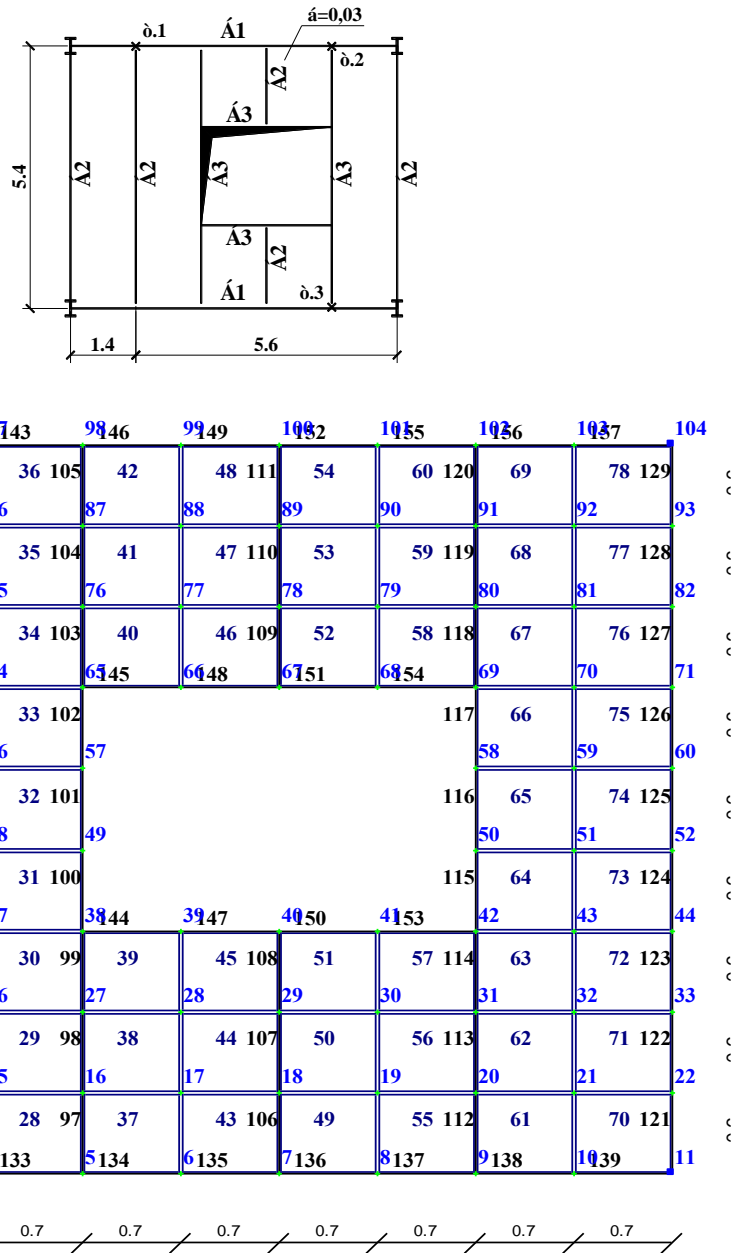


Рисунок 4.5 – Розрахункова схема балочної клітки.

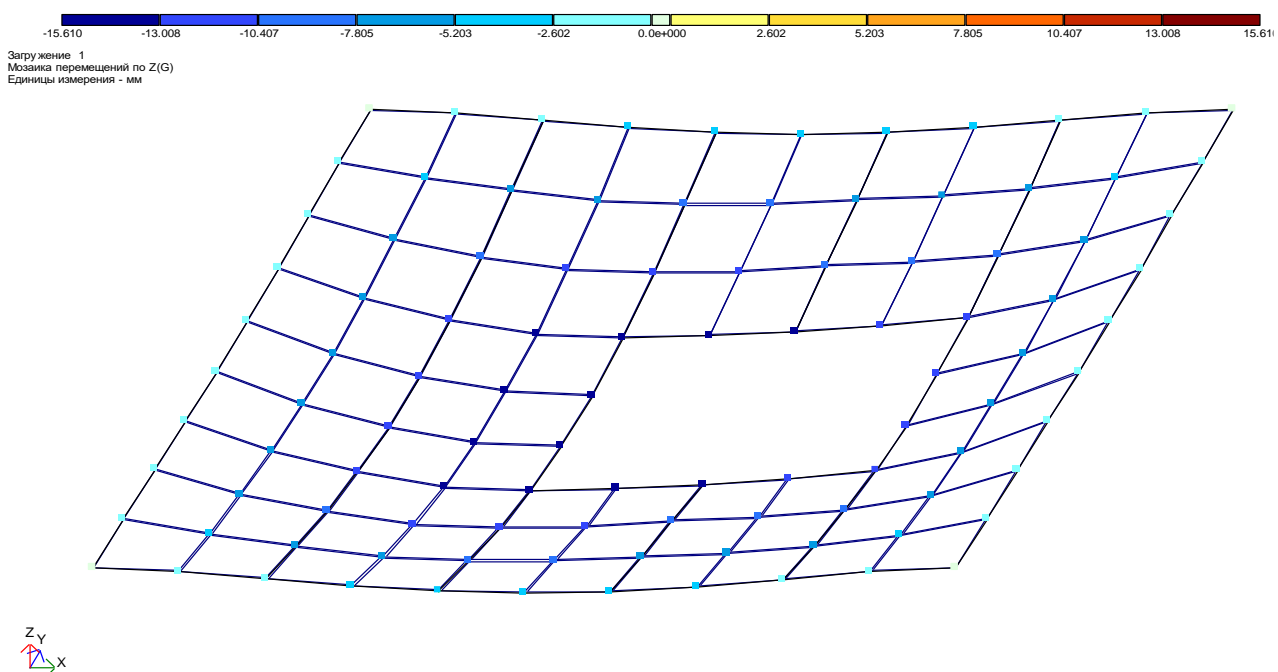


Рисунок 4.6 – Мозаїка переміщень вузлів балочної клітки уздовж віci Z.

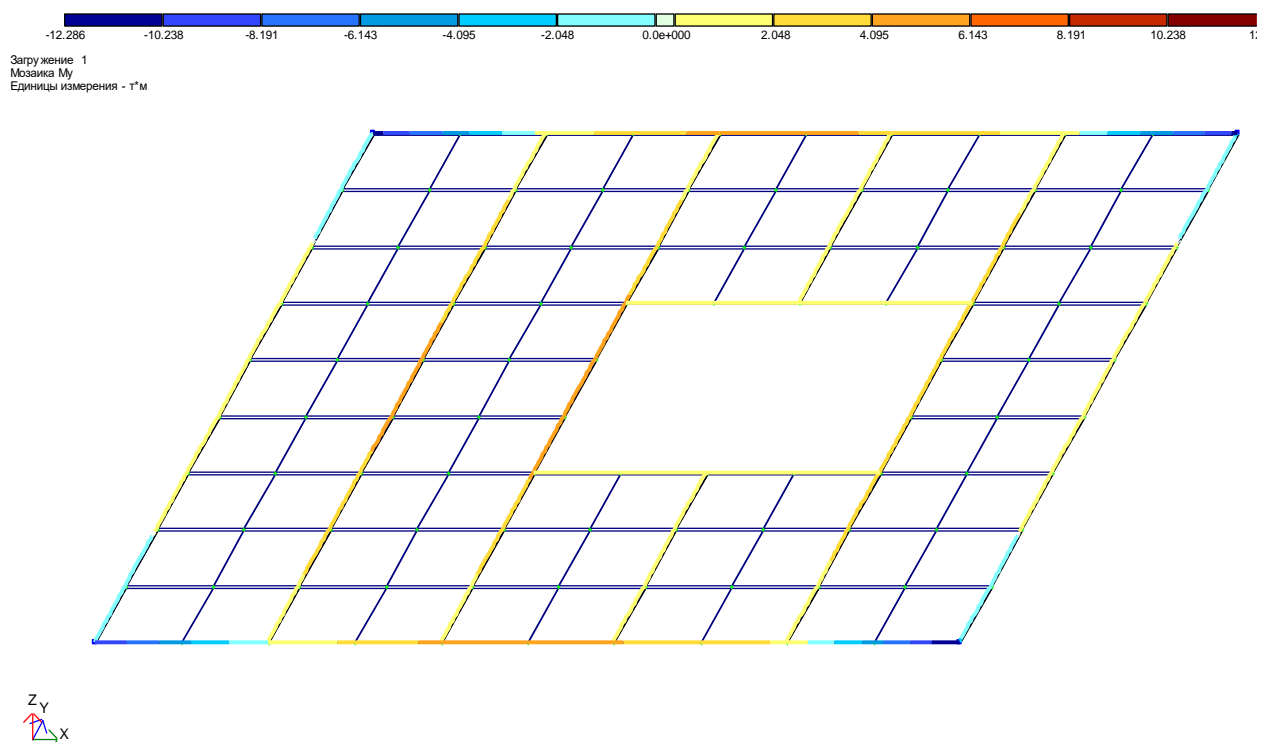


Рисунок 4.7 – Епюри згинальних моментів M_y в балках балочної клітки.

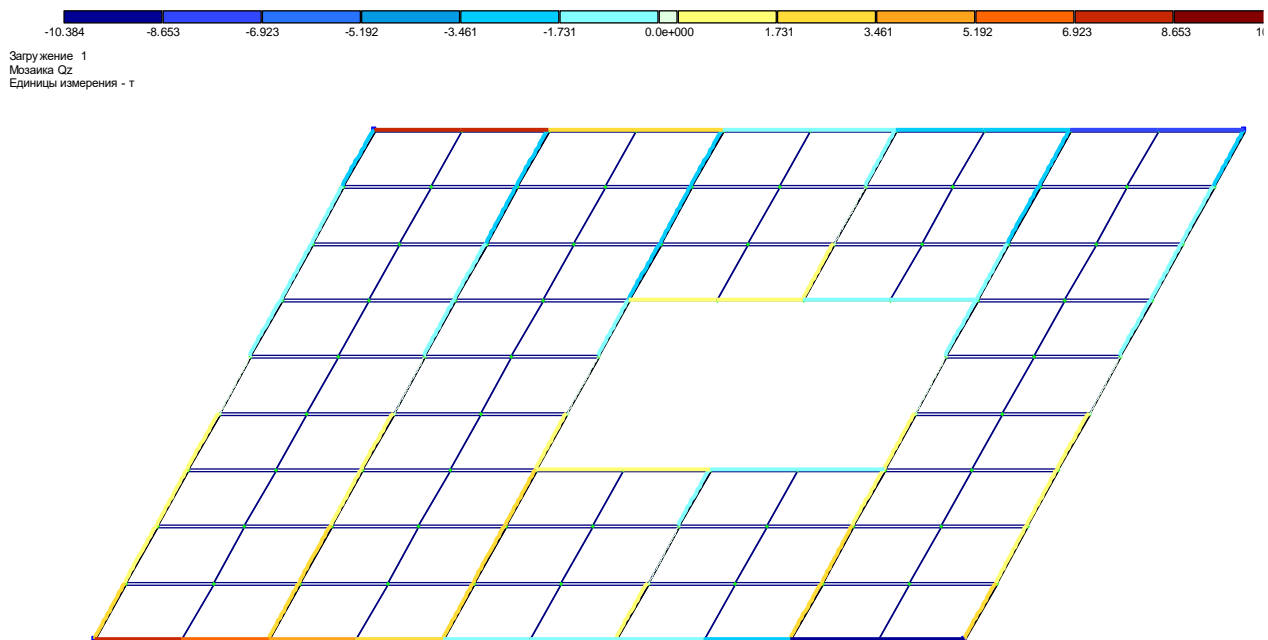


Рисунок 4.8 – Епюри поперечних сил Q_z в балках балочної клітки.

3) Просторові блоки покриття.

Такі задачі вирішуються по 4 признаку системи. Система розташовується в правій Декартові системі координат. Кожен вузол системи має три ступені волі: лінійні переміщення уздовж всіх X , Y і Z .

В задачах використовується кінцевий елемент типу 4 – шарнірний стержень просторової ферми. Плитна частина покриття моделюється за допомогою кінцевого елементу типу 23 – прямокутний кінцевий елемент плити загального положення.

В «Жорсткісних характеристиках» для елементів типу 4 задаються геометричні розміри перетину, а для елементів типу 23 - модуль деформації E ($\text{т}/\text{м}^2$); коефіцієнт Пуассона μ , а також товщина покриття δ в м.

В опорних закріплених системи можливе обмеження волі по трьом ступеням:

- 1 - лінійне переміщення уздовж вісі X ;
- 2 - лінійне переміщення уздовж вісі Y ;
- 3 - лінійне переміщення уздовж вісі Z .

Завдання. Побудувати епюри зусиль M_y , Q_z і N , які виникають в балках блока покриття, від дії навантаження $p=1,8 \text{ т}/\text{м}^2$. Модулі пружності: сталі – $E=2,1 \cdot 10^7 \text{ т}/\text{м}^2$, залізобетона – $E=24 \cdot 10^5 \text{ т}/\text{м}^2$. Коефіцієнт $\mu=0,2$. Поперечні перетини: С1 – труба $\Phi 140 \times 3,5$ мм, С2 – $\Phi 89 \times 3$ мм, С3 – $\Phi 89 \times 3$ мм, С4 – $\Phi 102 \times 3$ мм.

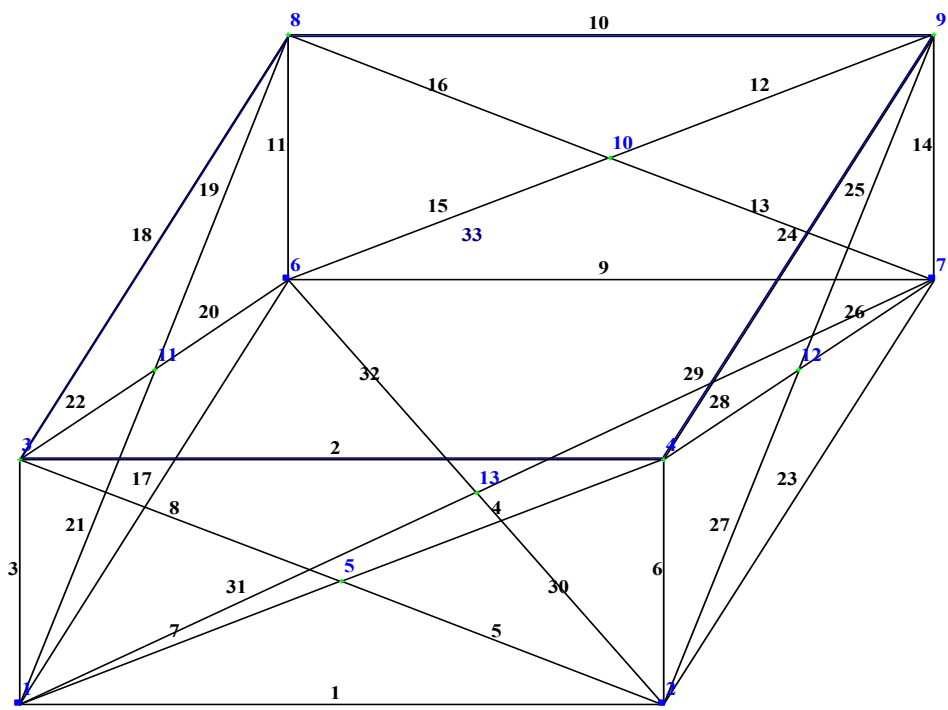
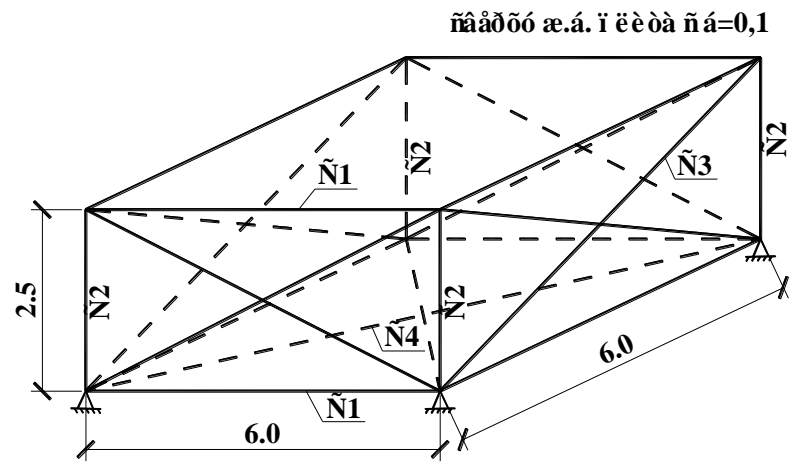


Рисунок 4.9 – Розрахункова схема блока покриття.

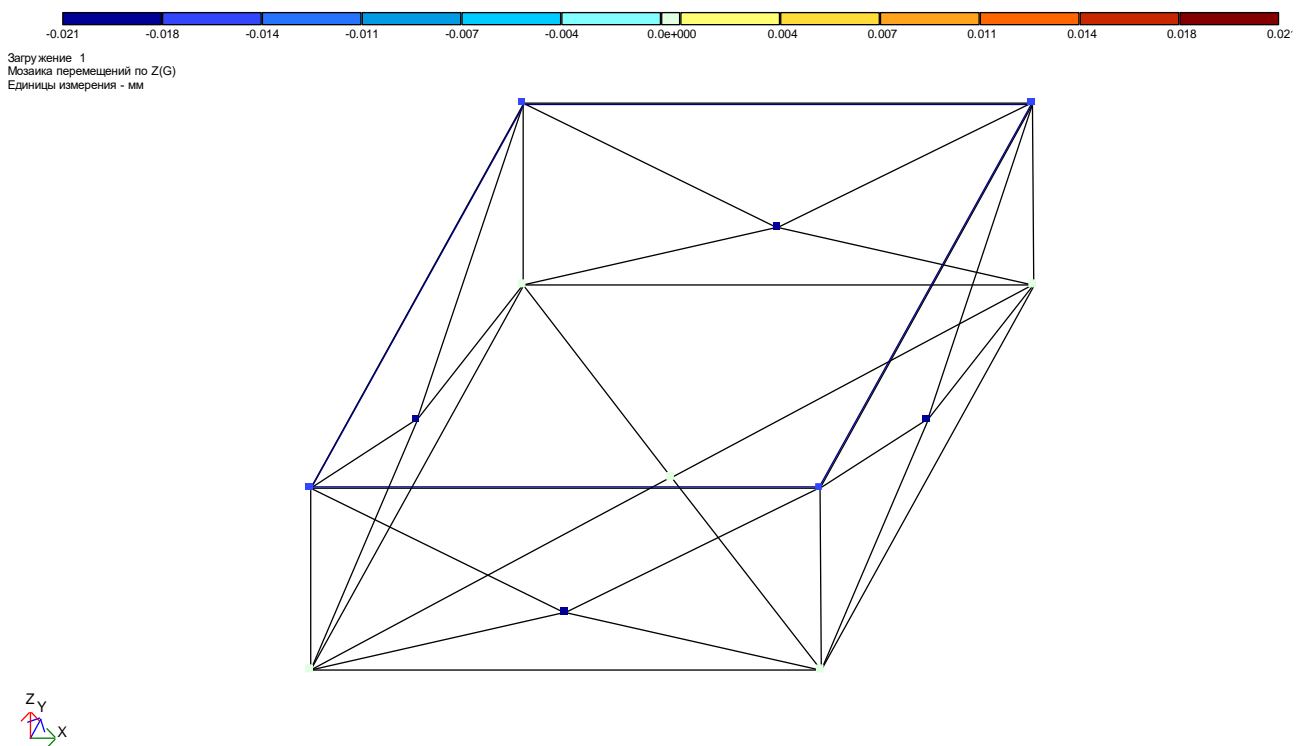


Рисунок 4.10 – Мозаїка переміщень вузлів блока покриття уздовж вісі Z.

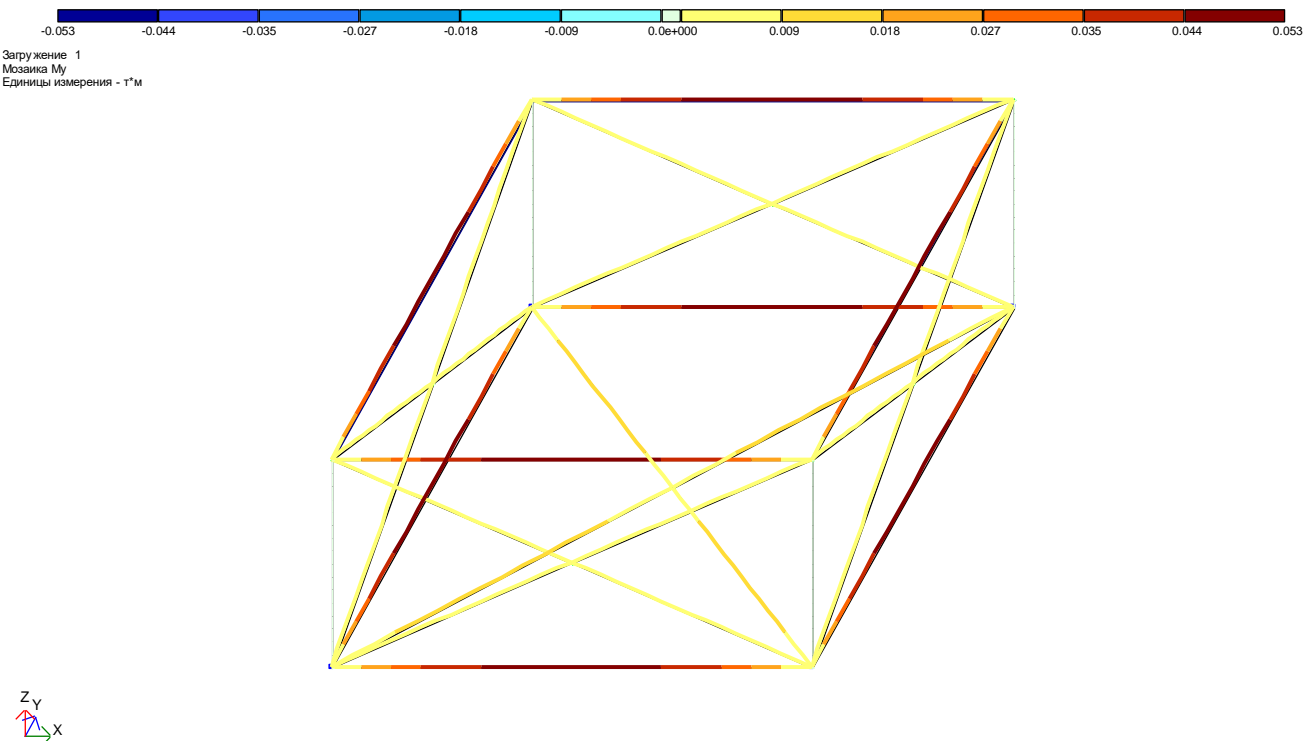


Рисунок 4.11 – Епюри згинальних моментів M_y в елементах блока покриття.

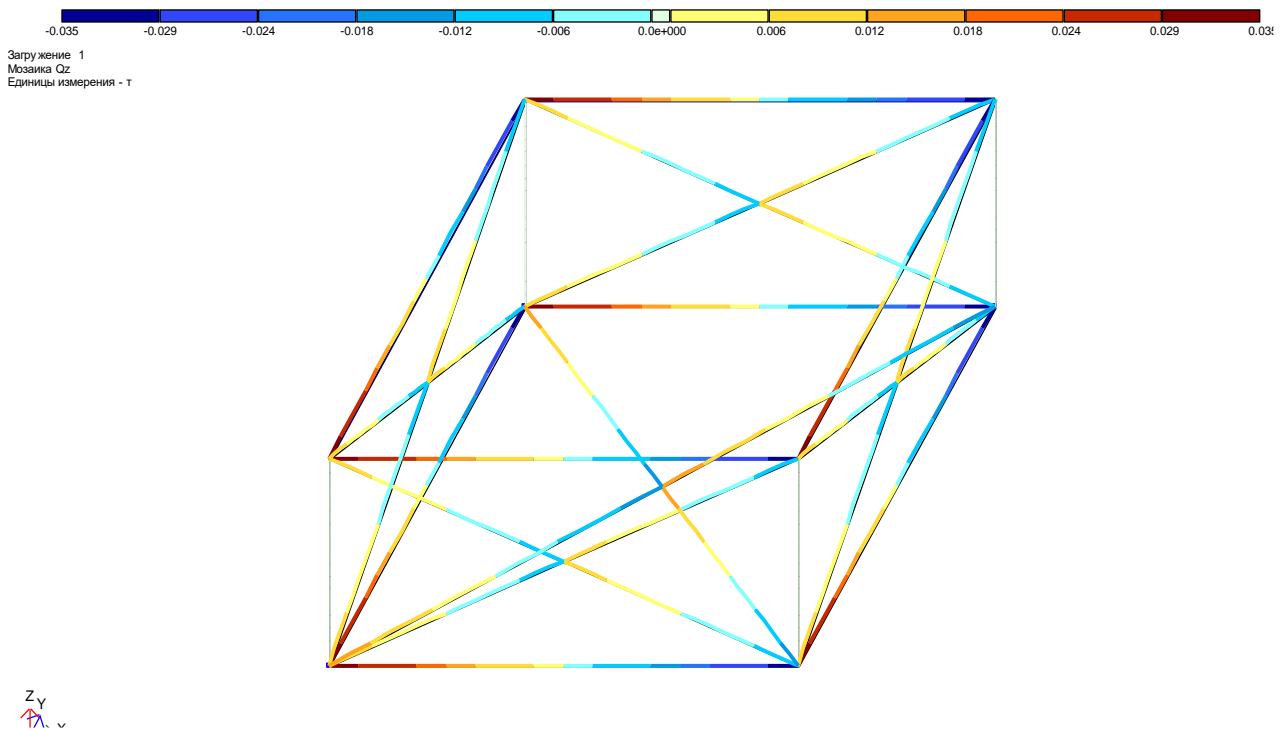


Рисунок 4.12 – Епюри поперечних сил Q_z в елементах блока покриття.

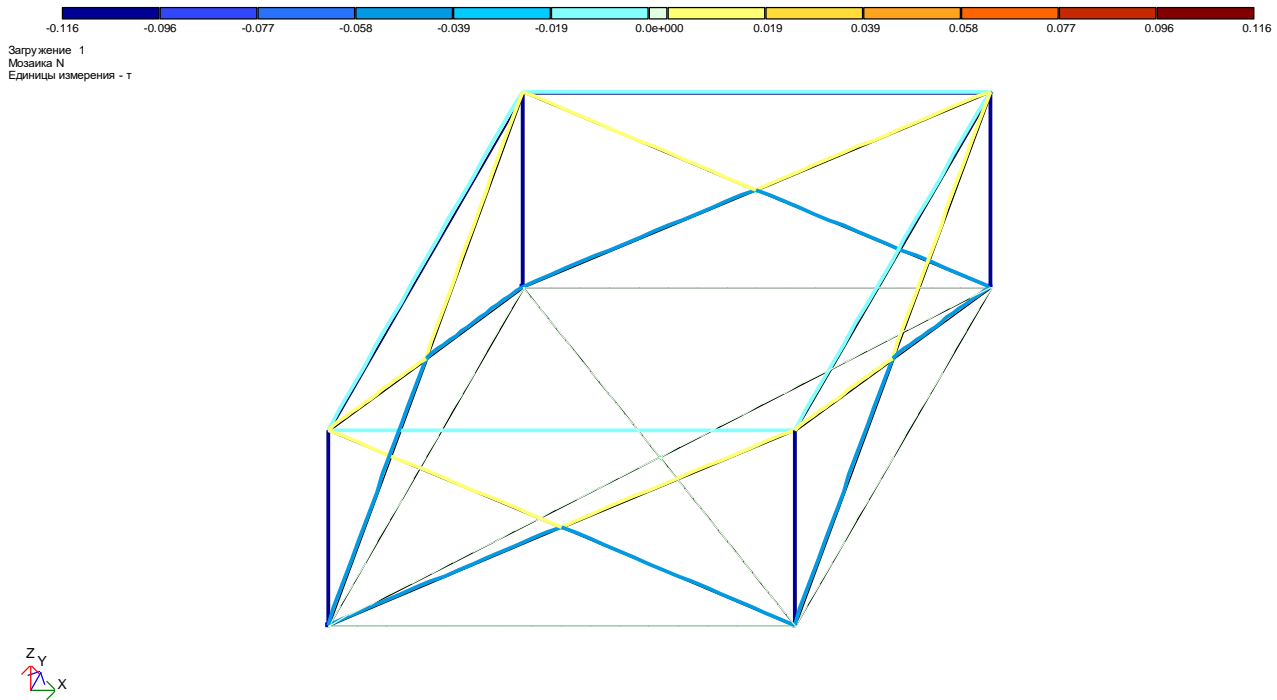


Рисунок 4.13 – Епюри подовжніх сил N в елементах блока покриття.

4) Циліндричні оболонки.

Такі задачі вирішуються по 5 признаку системи. Система розташовується в просторі з вісями координат X, Y і Z. Кожен вузол системи має шість ступенів волі: лінійні переміщення і повороти навколо вісей X, Y і Z.

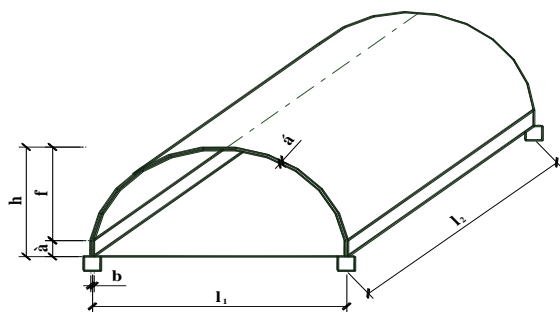
В задачах для моделювання плитної частини використовується кінцевий елемент типу 41 – прямокутний плоский кінцевий елемент оболонки бортовий елемент оболонки, який має прямокутну форму поперечного перетину, моделюється за допомогою кінцевого елементу типу 5 – просторовий стержень.

В «Жорсткісних характеристиках» для елементів типу 5 задаються геометричні розміри перетину, а для елементів типу 41 - модуль деформації E ($\text{т}/\text{м}^2$); коефіцієнт Пуассона μ , а також товщина оболонки δ в м.

В опорних закріпленнях системи можливе обмеження волі по шістьом ступеням:

- 1 - лінійне переміщення уздовж віси X;
- 2 - лінійне переміщення уздовж віси Y;
- 3 - лінійне переміщення уздовж віси Z.
- 4 - поворот навколо віси X;
- 5 - поворот навколо віси Y;
- 6 - поворот навколо віси Z.

Завдання. Побудувати епюри зусиль M_y та Q_z , які виникають в бортових елементах оболонки, та ізополя напружень по M_x і M_y від дії навантаження $p=0,6 \text{ т}/\text{м}^2$. Матеріал – залізобетон з $E=25 \cdot 10^5 \text{ т}/\text{м}^2$. Коефіцієнт $\mu=0,2$. Розміри оболонки: $l_1=10 \text{ м}$, $l_2=25 \text{ м}$, $h=2,7 \text{ м}$, $a=0,5 \text{ м}$, $b=0,5 \text{ м}$, $\delta=0,12 \text{ м}$.



276	277	278	279	281	280	286	285	284	283	282	
45	68	91	114	160	137	275	252	229	206	183	
44	67	90	113	159	136	274	251	228	205	182	
43	66	89	112	158	135	273	250	227	204	181	
42	65	88	111	157	134	272	249	226	203	180	
41	64	87	110	156	133	271	248	225	202	179	
40	63	86	109	155	132	270	247	224	201	178	
39	62	85	108	154	131	269	246	223	200	177	
38	61	84	107	153	130	268	245	222	199	176	
37	60	83	106	152	129	267	244	221	198	175	
36	59	82	105	151	128	266	243	220	197	174	
35	58	81	104	150	127	265	242	219	196	173	
34	57	80	103	149	126	264	241	218	195	172	
33	56	79	102	148	125	263	240	217	194	171	
32	55	78	101	147	124	262	239	216	193	170	
31	54	77	100	146	123	261	238	215	192	169	
30	53	76	99	145	122	260	237	214	191	168	
29	52	75	98	144	121	259	236	213	190	167	
28	51	74	97	143	120	258	235	212	189	166	
27	50	73	96	142	119	257	234	211	188	165	
26	49	72	95	141	118	256	233	210	187	164	
25	48	71	94	140	117	255	232	209	186	163	
24	47	70	93	139	116	254	231	208	185	162	
23	46	69	92	138	115	253	230	207	184	161	
12	13	14	15	17	16	22	21	20	19	18	
1	2	3	4	6	5	11	10	9	8	7	

Рисунок 4.14 – Розрахункова схема оболонки.

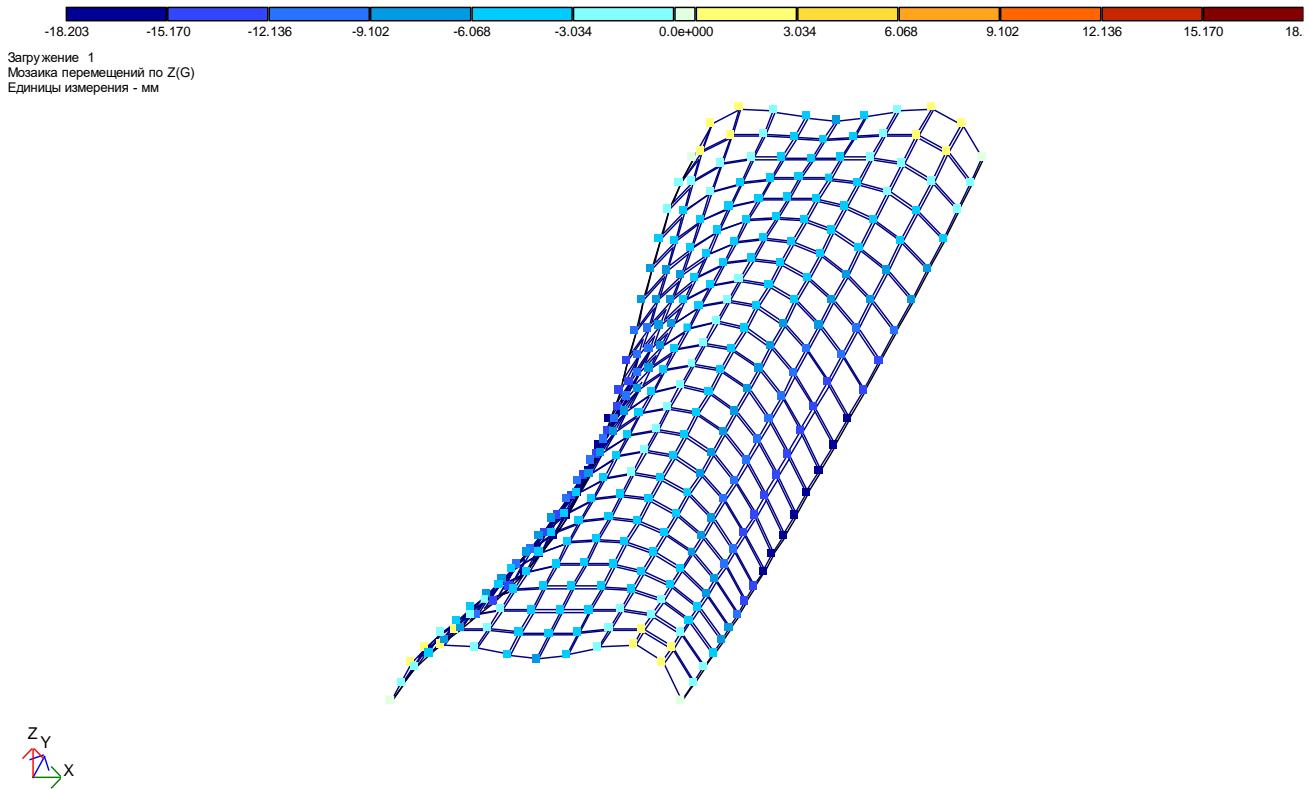


Рисунок 4.15 – Мозаїка переміщень вузлів оболонки уздовж вісі Z.

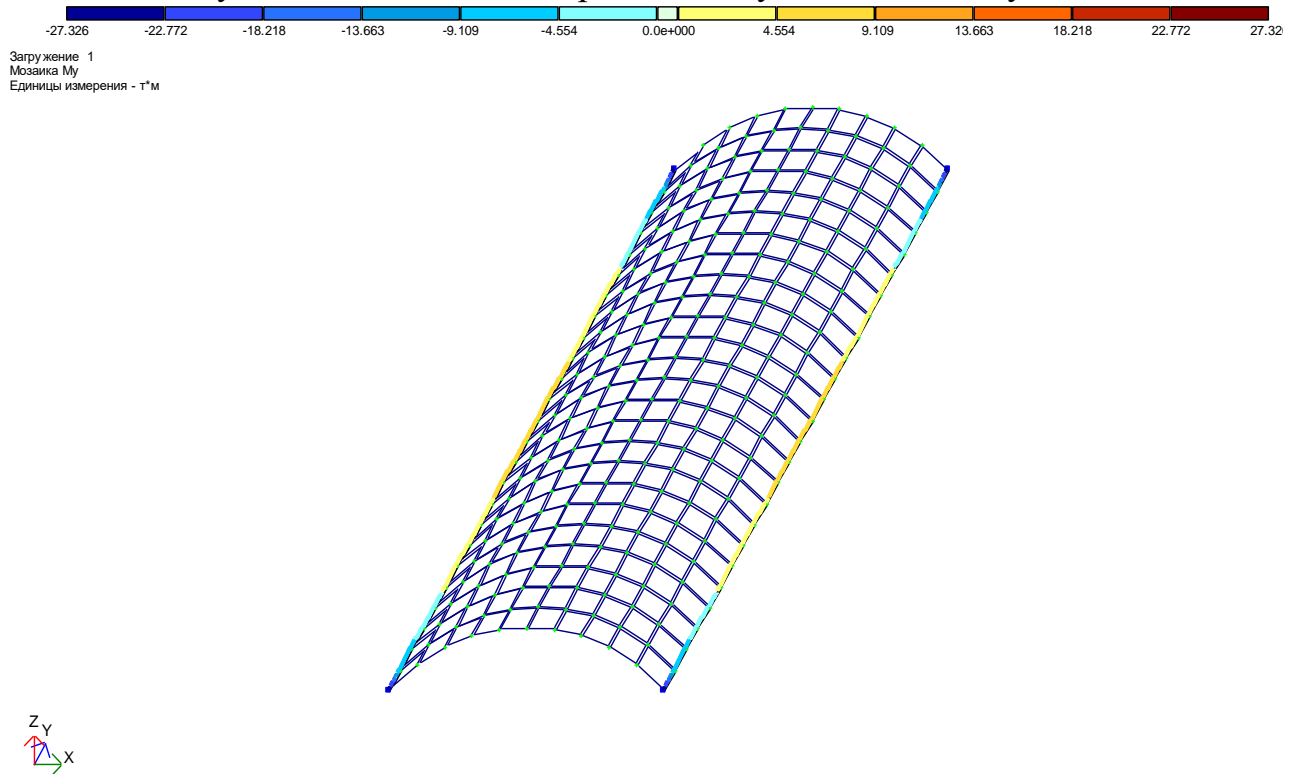


Рисунок 4.16 – Епюри згинальних моментів M_y в бортових елементах оболонки.

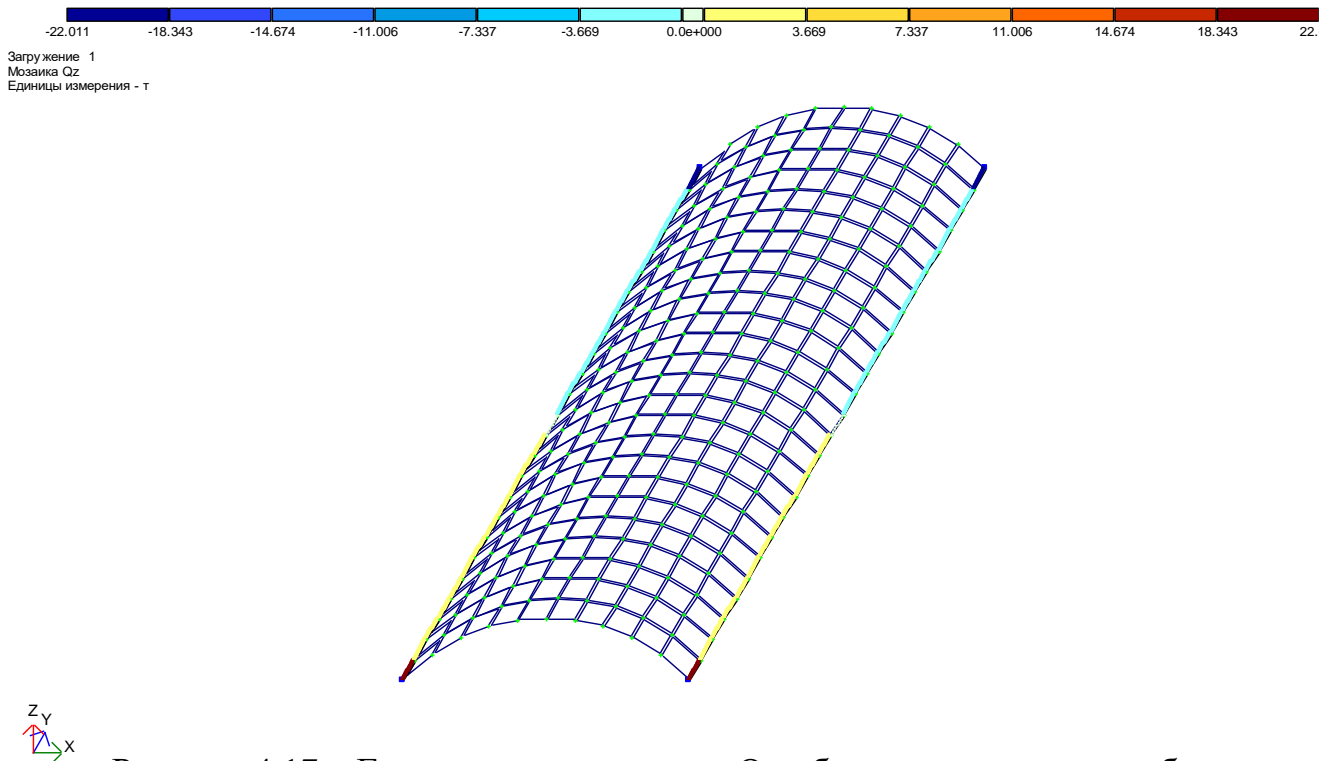


Рисунок 4.17 – Епюри поперечних сил Q_z в бортових елементах оболонки.

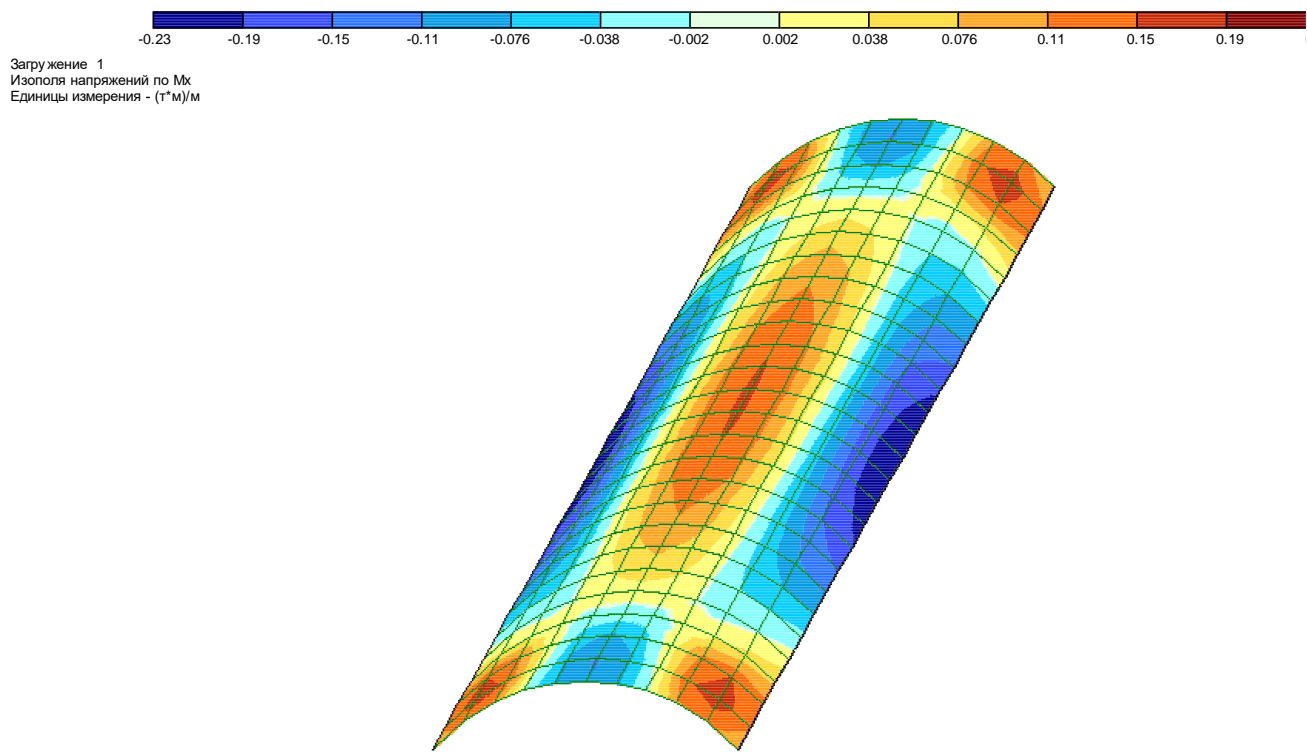


Рисунок 4.18 – Ізополя напруженъ по M_x в елементах оболонки.

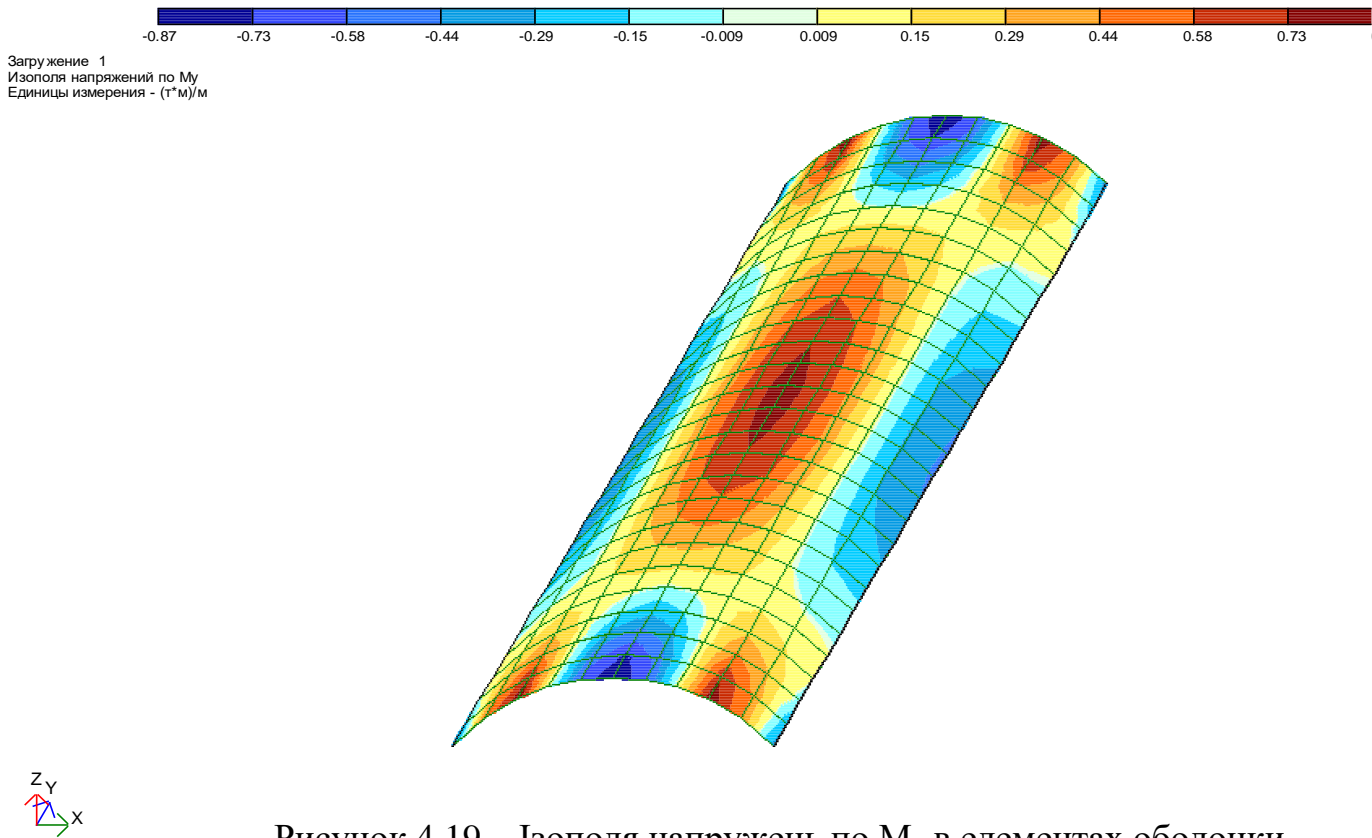


Рисунок 4.19 – Изополя напряжень по M_y в елементах оболонки.

